

**KONGRUENT-INVERSE KURVENPAARE**

Walter Wunderlich, Wien

Bericht Nr. 226

BERICHTE DER MATHEMATISCH-STATISTISCHEN SEKTION IM  
FORSCHUNGSZENTRUM GRAZ

I. Problemstellung und Konzept

§ 1. Wird in der Ebene eine Inversion auf eine Kurve  $q$  ausgeübt, so entsteht eine Bildkurve  $q'$  von im allgemeinen ganz anderer Gestalt. Ein von der Science Software Systems Inc. in Los Angeles veranstalteter Wettbewerb betraf nun, in Anlehnung an [1], im wesentlichen die Frage nach solchen Kurven  $q$ , die durch eine bestimmte Inversion  $\iota$  an einem einteiligen Kreis  $j$  auf eine kongruente Kopie  $q' = q$  abgebildet werden, wobei der bekannte Fall der "anallagmatischen" (oder autoinversen) Kurven  $q = q'$  außer Betracht bleiben darf. Das einfachste Beispiel bieten die den Inversionskreis  $j = j'$  nach Gegenpunkten schneidenden Kreise  $q$ , die vermöge  $\iota$  in ihr Spiegelbild  $q'$  bezüglich des Inversionszentrums  $O$  übergehen.

Der vorliegende Bericht soll einen Einblick in den Beitrag [4] des Autors zu der gestellten Frage geben, die auf Grund der Vermischung von Euklidischer und Möbiusscher Geometrie nicht ohne Reiz ist.<sup>1</sup> Besonderer Wert wurde dabei auf die Ermittlung von analytisch geschlossenen, nach Möglichkeit algebraischen Lösungen gelegt.

§ 2. Sei  $q$  eine Kurve, die durch die Inversion  $\iota: P \rightarrow P'$  auf die Kurve  $q'$  abgebildet wird (Fig.1). Ist nun  $q' \simeq q$ , so gibt es eine Kongruenztransformation  $\sigma: P' \rightarrow P''$ , die  $q'$  nach  $q$  zurückbringt. Die Produkttransformation  $\alpha = \mu: P \rightarrow P''$  ist dann eine Möbius-Verwandtschaft, die  $q$  in sich selbst überführt.

Die gestellte Aufgabe läuft demnach auf die Frage nach Kurven hinaus, die gegenüber einer (quadratischen) Möbius-Transformation  $\mu$  (ohne spezielle Eigenschaften) invariant sind.

Grundsätzlich wird dabei zu unterscheiden sein, ob die Kongruenzabbildung  $\sigma$  gleich- oder gegensinnig ist.

Im ersten Fall ist die Möbius-Abbildung  $\mu$  gegensinnig-konform, im zweiten hingegen gleichsinnig-konform.

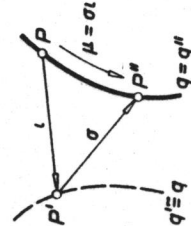


Fig. 1. Schema

<sup>1</sup> Der ausgesetzte Preis von 2500 \$ wurde Ende Juni 1983 von der Jury zu gleichen Teilen den eingereichten Arbeiten [2], [3] und [4] zuerkannt.

Besitzt nun die quadratische Möbius-Abbildung  $\mu$  einen reellen Fixpunkt  $N = N''$  - was im zweiten Fall stets zutrifft (Kapitel II) -, so wird sie durch eine von  $N$  aus vorgenommene Hilfsinversion  $\kappa: P \rightarrow P^*$  ( $P'' \rightarrow P^*$ ) in eine lineare Möbius-Abbildung  $\mu^* = \kappa \mu \kappa$  verwandelt, also in eine Ähnlichkeit oder Kongruenz. Die so aus der gesuchten Lösungskurve  $q = q''$  abgeleitete Hilfskurve  $q^* = q^*$  gestattet mithin die Ähnlichkeits- oder Kongruenzabbildung  $\mu^*: P^* \rightarrow P^*$  und damit die ganze, durch Iteration von  $\mu^*$  und  $(\mu^*)^{-1}$  erzeugte diskontinuierliche zyklische Gruppe. Dieser Umstand bedingt eine gewisse periodische Struktur der Hilfskurve  $q^*$  (vgl. Fig.2) und damit auch der zu ihr inversen Lösungskurve  $q$  (Fig.3). Die Ermittlung von passenden Hilfskurven läuft auf die Lösung einfacher Funktionalgleichungen hinaus, die auf periodische Funktionen führen. Hierbei sind allerdings mehrere Fallunterscheidungen nötig. - Durch rückläufige Überlegungen gelangt man zum vorläufigen

Hauptsatz: Wird irgendeine Kurve  $q^*$ , die eine Ähnlichkeits- oder Kongruenzabbildung  $\mu^*$  auf sich selbst gestattet, einer Inversion  $\kappa$  mit nichtinvariantem Zentrum unterworfen, so entsteht eine Kurve  $q$ , die durch gewisse Inversionen  $\iota$  auf eine kongruente Kopie  $q'$  abgebildet wird.

Im Hinblick auf die von  $\mu^*$  erzeugte Automorphismengruppe von  $q^*$  existieren meist mehrere, unter Umständen unendlich viele der betreffenden Inversionen  $\iota$ .

§ 3. Besitzt hingegen die quadratische Möbius-Abbildung  $\mu$  keinen reellen Fixpunkt - was im gegensinnig-konformen Fall eintreten kann (Kapitel III) -, so muß ein anderer Weg eingeschlagen werden. Der allgemeine ("elliptische") Fall dieser Art läßt sich dabei auf den einfacheren "zyklischen Fall" zurückführen (§ 11).<sup>2</sup>

II. Gegensinnig kongruent-inverse Kurvenpaare

§ 4. Unter Verwendung der Gaußschen Zahlenebene kann die Inversion  $\iota: P \rightarrow P'$  dargestellt werden durch

$$(1) \quad z' = a^2/\bar{z} \quad (z = x + iy, \bar{z} = x - iy, a = \bar{a} > 0).$$

Die als gegensinnig vorausgesetzte Kongruenzabbildung  $\sigma: P' \rightarrow P''$  kann zerlegt werden in eine Spiegelung an einem Ursprungsstrahl invarianten Richtung und eine Translation. Wird die

<sup>2</sup> Dieser zyklische Fall ist das Hauptanliegen der Beiträge [2] und [3].

Spiegelachse als x-Achse gewählt, so wird  $\sigma$  beschrieben durch  
(2)  $z'' = \bar{z}' + b$  mit  $b = b' + ib''$ ,  $b', b'' \in \mathbb{R}$ ,  $b' \geq 0$ .

Sie kann auch aufgefaßt werden als Spiegelung an der x-parallelen Achse  $h$ :  $y' = y'' = b''/2$  mit nachfolgender Schiebung längs  $h$  um den Betrag  $b'$  ("Gleitspiegelung").

Die durch Zusammensetzung von  $\iota$  und  $\sigma$  erklärte (gleichsinnige) Möbius-Transformation  $\alpha \iota = \mu: P \rightarrow P''$  wird dann erfährt durch

(3)  $z'' = \frac{a^2}{z} + b$  oder  $zz'' - bz - a^2 = 0$ .

Die durch  $z = z''$  gekennzeichneten reellen Fixpunkte  $M = M''$  und  $N = N''$  ergeben sich durch Auflösung der Gleichung  $z^2 - bz - a^2 = 0$  mit

(4)  $z_{1,2} = \frac{1}{2}(b \pm R)$ , wobei  $R^2 = b^2 + 4a^2$ .

Im Hinblick auf die geplante Inversion  $\kappa$  von  $N$  aus sei zunächst die Koordinatenverschiebung  $(O; x, y) \rightarrow (N; \xi, \eta)$ , also die Substitution

(5)  $\zeta = z - z_2$  ( $\zeta'' = z'' - z_2$ )

vorgenommen. In den neuen Koordinaten schreibt sich nun die Möbius-Abbildung  $\mu$  in der Gestalt

(6)  $\zeta_2 \zeta'' - z_1 \zeta + z_2 \zeta'' = 0$ .

Die Gaußschen Koordinaten der beiden Fixpunkte  $M$  und  $N$  lauten nun  $\zeta_1 = z_1 - z_2 = R$  bzw.  $\zeta_2 = 0$ . Die Hilfsinversion  $\kappa: P \rightarrow P''$  mit dem Zentrum  $N$  und einem beliebigen Radius  $c = \bar{c} > 0$  ist nun festgelegt durch

(7)  $\zeta'' = c^2/\bar{\zeta}$  ( $\zeta'''' = c^2/\bar{\zeta}''$ ).

Sie verwandelt die quadratische Möbius-Abbildung  $\mu$  (6) im allgemeinen in eine gleichsinnige Ähnlichkeit  $\kappa \mu \kappa = \mu^*: P^* \rightarrow P''^*$ , dargestellt durch

(8)  $\bar{z}_2 \zeta''^* - \bar{z}_1 \zeta''^* + c^2 = 0$ ,

mit einem eigentlichen Fixpunkt  $M^*$ :  $\zeta_1^* = c^2/(\bar{z}_1 - \bar{z}_2) = c^2/\bar{R}$ , vorausgesetzt daß  $R \neq 0$  ( $M \neq N$ ).

§ 5. Im Hauptfall  $R \neq 0$ ,  $b' = \text{Re } b > 0$  ist  $M^*$  ein echter Punkt. Nach Vornahme einer neuerlichen Koordinatenverschiebung  $(N; \xi, \eta) \rightarrow (M^*; X, Y)$ , bewerkstelligt durch

(9)  $Z = \zeta'' - \zeta_1^*$  ( $Z'' = \zeta'''' - \zeta_1^*$ ) mit  $\zeta_1^* = c^2/\bar{R}$ ,

vereinfacht sich die Darstellung von  $\mu^*$  zur Normalform

(10)  $\bar{z}_2 Z - \bar{z}_1 Z'' = 0$  oder  $Z'' = \Lambda Z$  mit  $\Lambda = \bar{z}_2/\bar{z}_1 = \rho \cdot e^{i\omega}$ .

Diese lineare Abbildung ist unter den getroffenen Voraussetzungen eine Drehstreckung, bestehend aus einer Drehung um

den Ursprung  $M^*$  durch den Winkel  $\omega = \arg \Lambda = \angle NOM \neq 0$  und einer zentrischen Streckung mit dem Faktor  $\rho = |\Lambda| = ON:OM \neq 1$  vom gleichen Zentrum  $M^*$  aus.

§ 6. Nun kommt es also darauf an, Hilfskurven  $q^*$  anzugeben, welche die Drehstreckung  $\mu^*$  (10) vertragen. Sind  $A^*$  und  $A''^*$  irgendzwei vermöge  $\mu^*$  verknüpfte Punkte, so könnte man sie durch einen beliebigen Bogen miteinander verbinden. Wiederholte Anwendung von  $\mu^*$  und der Umkehrung  $(\mu^*)^{-1}$  erzeugt dann aus diesem Bogen eine stetige Kurve  $q^*$  mit einer charakteristischen spiralig-periodischen Struktur (Fig. 2). Wünscht man jedoch statt einer solchen aus ähnlichen Teilbögen "gestückelten" Kurve eine analytisch geschlossene, so kann man verfahren wie folgt.

Man denke sich  $q^*$  in Parameterform  $Z = Z(\phi)$  beschrieben und verlange gemäß (10)

(11)  $Z'' = \Lambda \cdot Z(\phi) = Z(\phi + \omega)$ , wobei  $\Lambda = \rho \cdot e^{i\omega}$ .

Hierzu eignet sich nach Vornahme der zulässigen Substitution  $\rho = e^{p\omega}$  mit  $p = \frac{1}{\omega} \ln \rho$  der Ansatz

(12)  $Z(\phi) = e^{p\omega \cdot i\phi} \cdot w(\phi)$ .

Die Forderung (11) führt dann auf die Funktionalgleichung

(13)  $w(\phi + \omega) = w(\phi)$ ,

die lediglich verlangt, daß  $w(\phi)$  eine komplexe periodische Funktion mit der Periode  $\omega$  ist. Brauchbare Funktionen dieser Art sind etwa  $\sin 2m\phi$  oder  $\cos 2m\phi$  mit dem "Modul"  $m = \pi/\omega$ , oder allgemeiner

(14)  $w(\phi) = \int (a_j \cos jm\phi + b_j \sin jm\phi)$ ,  $a_j, b_j \in \mathbb{C}$ ,  $j \in \mathbb{Z}$  (2).

Durch geeignete Parametrisierung von  $\phi$  und  $w$  nach dem Muster

(15)  $\phi = \frac{t}{2\pi} + \psi(t)$ ,  $w(t) = u(t) + iv(t)$

mittels  $2\pi$ -periodischer, reeller Funktionen  $\psi(t)$ ,  $u(t)$  und  $v(t)$  sind noch weitere, auch mehrwertige Funktionen  $w(\phi)$  zu gewinnen, deren Vielfalt sich durch Produkt- oder Quotientenbildung, Potenzierung etc. unbeschränkt vermehren läßt.

Hat man sich schließlich für eine derartige Funktion  $w(\phi)$  entschieden und damit für die Hilfskurve  $q^*$  (12), so ist die entsprechende Lösungskurve  $q$  mit Hilfe der Rücktransformation

(16)  $z(\phi) = \frac{c^2}{\bar{Z}(\phi) + \bar{\zeta}_1^*} + z_2$  mit  $\bar{\zeta}_1^* = c^2/\bar{R}$

zu finden, wobei  $R$  und  $z_2$  aus (4) zu entnehmen sind.  
 Das einfachste Beispiel ergibt sich mit  $w = a_0 = \text{const} \neq 0$ .

Hier ist  $q^*$  eine logarithmische Spirale mit dem Kurswinkel  $\theta = \text{arccot } p$ ; demnach ist  $q$  eine Inverse davon, die als "Möbius-Spirale" bezeichnet werden mag (vgl.  $l^*$  bzw.  $l$  in Fig.2).

$$m=4, j=-2, \omega=45^\circ$$

$$p=1/2, \varphi=1,481$$

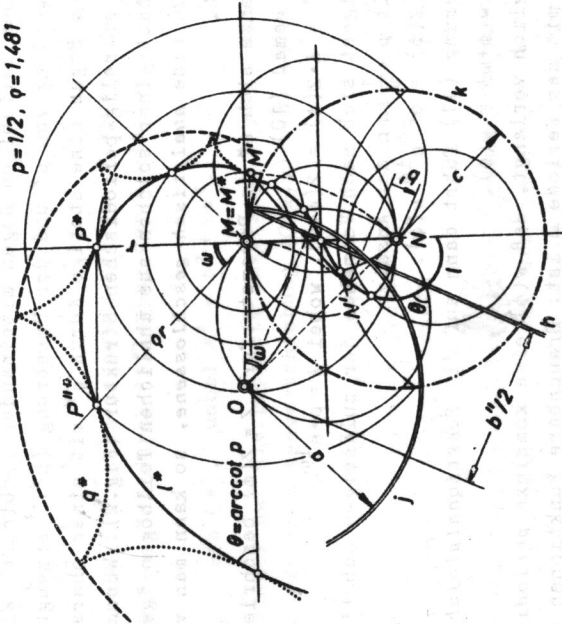


Fig. 2. Cespitzte Hypospiraloide

Weniger triviale Beispiele liefert die Wahl  $w(\phi) = a_0 + a_j e^{jmi\phi}$  mit geradem  $j$ . Hier ist  $q^*$  eine sogenannte Spiraloide (Fig.2),  $q$  eine Inverse davon (Fig.3).

§ 7. Im Spezialfall  $R \neq 0, b' = \text{Re } b = 0$  kann  $b'' = \text{Im } b \geq 0$  angenommen werden. Das Verschwinden des Translationsvektors  $b'$  bedeutet, daß sich die Gleitspiegelung  $\sigma$  (2) auf eine reine Spiegelung reduziert. Hieraus folgt weiter, daß die Schnittpunkte der Spiegelachse  $h$  mit dem Inversionskreis  $j$  Fixpunkte der Möbius-Abbildung  $\mu$  (3) sind. Die Diskriminante  $R^2 = 4a^2 + b^2 = 4a^2 - b''^2$  fällt stets reell aus, man wird aber nach ihrem Vorzeichen zwei Unterfälle zu unterscheiden haben.

Im 1. Unterfall  $R^2 > 0$  ( $0 < b'' < 2a$ ) sind die Schnittpunkte von  $h$  und  $j$  reell und mit den Fixpunkten  $M$  und  $N$  von  $\mu$  identisch. Die Drehstreckung  $\mu^*$  (10) reduziert sich wegen  $\rho = 1$  auf eine reine Drehung durch den Winkel  $\omega = 2 \arccos (b''/2)$ .

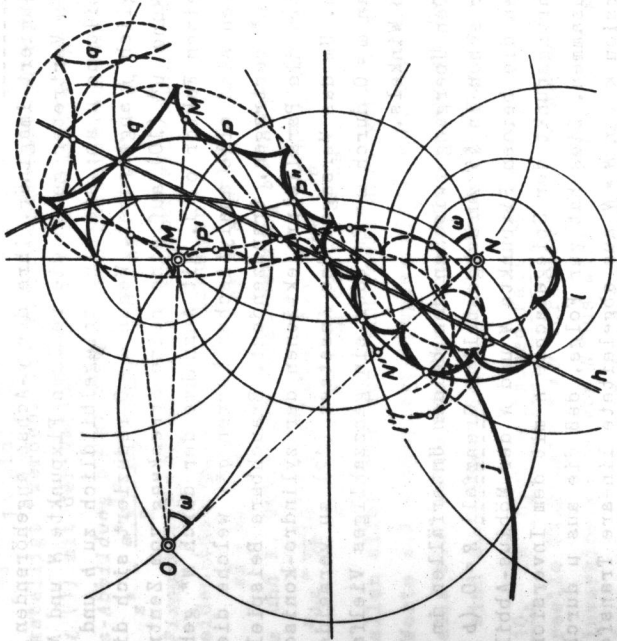


Fig. 3. Gegensinnig kongruent-inverses Kurvenpaar

Die Hilfskurve  $q^*$  ist also durch Drehymmetrie gekennzeichnet, wie sie etwa die Epi- und Hypotrochoiden aufweisen. Der analytische Apparat aus § 6 behält seine Gültigkeit, vereinfacht sich jedoch etwas zufolge  $p = 0$ . Ist überdies der Modul  $m = \pi/\omega$  rational, so fällt  $q^*$  (und damit auch  $q$ ) geschlossen, eventuell sogar algebraisch aus. Die maßgebende Modifikation des Hauptsatzes aus § 2 lautet nun:

Wird irgendeine drehsymmetrische Kurve  $q^*$  (Zentrum  $M^*$ , kleinster Drehwinkel  $\omega = \pi/m$ ) von einem Punkt  $N \neq M^*$  aus einer Inversion  $\kappa$  unterworfen, so entsteht eine Kurve  $q$ , die durch gewisse Inversionen  $\iota_n$  auf ihr Spiegelbild  $q'$  bezüglich der Achse  $M^*N$  abgebildet wird. Das Zentrum  $O_n$  einer solchen Inversion liegt auf der Symmetrale von  $MN$  ( $M = \kappa M^*$ ), so zwar daß  $\star NO_n M = n\omega$  ( $n$  ganz).

Als Korollar für  $m = 1$  ( $\omega = \pi$ ) ergibt sich der auf zentralsymmetrische Hilfskurven  $q^*$  bezügliche (auch elementar leicht beweisbare) Satz von J.L.KAVANAU [1, S.379]. Das Zentrum  $O$  der (einzigen) Inversion  $\iota$  liegt dabei in der Mitte der Strecke  $MN$ .

bestimmten Drehpol  $H$  mit der Gaußschen Koordinate

$$(18) \quad z_0 = \frac{b}{1 - e^{i\alpha}} = \frac{b}{2}(1 + i \cot \frac{\alpha}{2})$$

bewerkstelligt werden. Die durch Zusammensetzung der Inversion  $\mathcal{L}(1)$  mit der Verlagerung  $\sigma$  (17) erklärte (gegenseitige) Möbius-Abbildung  $\mu = \sigma \mathcal{L}$  wird sonach beschrieben durch

$$(19) \quad z'' = \frac{a^2 e^{i\alpha}}{z} + b \quad \text{oder} \quad \bar{z}z'' - b\bar{z} - a^2 e^{i\alpha} = 0.$$

Ihre Fixpunkte  $M = M''$  und  $N = N''$  ergeben sich durch Auflösung der beiden (äquivalenten) Gleichungen

$$(20) \quad z\bar{z} - b\bar{z} = a^2 e^{i\alpha}, \quad z\bar{z} - bz = a^2 e^{-i\alpha}$$

nach  $z$  und  $\bar{z}$ . Unter der Voraussetzung  $b > 0$  findet man:

$$(21) \quad z_{1,2} = \frac{1}{2b}(b^2 + 2ia^2 \sin \alpha \pm R), \quad \bar{z}_{1,2} = \frac{1}{2\bar{b}}(b^2 - 2ia^2 \sin \alpha \pm R)$$
  
mit  $R^2 = (b^2 + 2a^2 \cos \alpha)^2 - 4a^4$ .

Sie fallen allerdings nur dann reell aus, wenn zusammengehörige Werte  $z, \bar{z}$  konjugiert-komplex sind, d.h. wenn  $R^2 \geq 0$ ; andernfalls sind keine reellen Fixpunkte vorhanden. Dementsprechend sind auch hier wieder Fallunterscheidungen nötig.

§ 10. Im "hyperbolischen Fall"  $R^2 > 0$  ( $b > 2a|\sin \frac{\alpha}{2}|$ ) sind zwei reelle Fixpunkte  $M \neq N$  vorhanden. Durch Ausübung der Hilfsinversion  $\kappa(7)$  von  $N$  aus wird  $\mu(19)$  in eine gegenseitige Ähnlichkeit  $\kappa\mu\kappa = \mu^*$  transformiert, die in dem angepaßten Koordinatensystem  $(M^*, X, Y)$  dargestellt wird durch

$$(22) \quad Z'' = \Lambda \cdot \bar{Z} \quad \text{mit} \quad \Lambda = z_2/z_1 = \rho \cdot e^{i\omega}.$$

Es ist dies eine Spiegelstreckung, bestehend aus der Spiegelung an einer durch  $M^*$  gehenden Achse und einer zentrischen Streckung mit dem Faktor  $\rho = |z_2/z_1|$  von  $M^*$  aus. Die Bestimmung von  $\mu^*$  gegenüber  $\mu^*$  invarianten Hilfskurven  $q^*$  läßt sich durch den zu (12) ähnlichen Ansatz

$$(23) \quad Z(\phi) = e^{i\phi} e^{i\omega/2} \cdot w(\phi) \quad \text{mit} \quad e^{i\phi\omega} = \rho$$

zurückführen auf die Funktionalgleichung

$$(24) \quad w(\phi + \omega) = \bar{w}(\phi) \quad \text{mit} \quad \omega = \arg(z_2/z_1) = \angle MON,$$

die wieder auf gewisse periodische Funktionen für den Real- und Imaginärteil von  $w(\phi)$  führt. Die Lösungskurven  $q$  bilden übrigens eine Unterfamilie der in §6 erhaltenen, weil sie mit  $\mu$  auch die gleichsinnige Möbius-Abbildung  $\mu^2$  vertragen.

Ähnlich Feststellungen sind auch im "parabolischen Fall"  $R = 0$  ( $b = 2a|\sin \frac{\alpha}{2}|$ ) zu machen, in welchem die Fixpunkte in einem reellen Punkt  $M = N$  des Inversionskreises  $j$  zusammenrücken. Dies führt dann auf eine Gleitspiegelung  $\mu^*$  und damit auf periodische Hilfskurven  $q^*$  vom Charakter der Sinuslinien.

Im 2-Unterfall  $R^2 < 0$  ( $b'' > 2a$ ) sind die Schnittpunkte von  $h$  und  $j$  konjugiert-imaginär. Ihre der  $y$ -Achse angehörenden Laquerreschen Vertreter geben die reellen Fixpunkte  $M$  und  $N$  der Möbius-Abbildung  $\mu$  ab; sie sind spiegelbildlich zu  $h$ , und invers bezüglich  $j$  angeordnet. Wegen  $\omega = 0$  reduziert sich die Drehstreckung  $\mu^*$  (10) auf eine reine Streckung vom Zentrum  $M^*$  aus, mit einem Faktor  $\rho \neq 1$ . Mit Ausnahme der durch  $M^*$  gehenden Strahlen sind alle analytischen Kurven  $q^*$ , welche die Streckung  $\mu^*$  vertragen, transzendent. Brauchbare Beispiele liefern etwa die Parallelprojektionen der zylindro-konischen Loxodromen. Um das Versagen des Ansatzes (12) zu vermeiden, ersetze man  $\omega = 0$  durch  $\omega = 2\pi$  oder ein ganzzahliges Vielfaches des vollen Winkels.

§ 8. Den Übergang zwischen den beiden Unterfällen in §7 bildet der schon in §5 zurückgestellte Grenzfall  $R = 0$  ( $b = 2ia$ ). Hier rücken die beiden Fixpunkte  $M$  und  $N$  der Möbius-Abbildung  $\mu$  im Berührungspunkt der Spiegelachse  $h$  mit dem Inversionskreis  $j$  zusammen. Dies hat zur Folge, daß die aus  $\mu$  durch die Hilfsinversion  $\kappa$  von  $M = N$  aus abgeleitete lineare Transformation  $\mu^*$  eine Schiebung (längs der  $y$ -Achse) ist. Die gegenüber dieser Schiebung invarianten Hilfskurven  $q^*$  zeigen daher jene periodische Struktur, wie sie etwa die Zykloiden aufweisen. Wird also eine solche Kurve  $q^*$  einer beliebigen Inversion  $\kappa$  unterworfen, so erhält man eine Kurve  $q$ , die durch gewisse, abzählbar unendlich viele Inversionen  $\iota_n$  auf ihr Spiegelbild  $q'$  bezüglich jener Achse  $h$  abgebildet wird, die das Zentrum  $N = M$  von  $\kappa$  enthält und normal zur Schiebrichtung verläuft; die Zentren  $O_n$  der Inversionen  $\iota_n$  liegen auf dem durch  $M = N$  gehenden Schiebstrahl.

III. Gleichsinnig kongruent-inverse Kurvenpaare

§ 9. Die jetzt als gleichsinnig vorausgesetzte Kongruenzabbildung  $\sigma: P' \rightarrow P''$  kann zerlegt werden in eine Drehung um das Inversionszentrum  $O$  (Winkel  $\alpha \neq 0$ ) und eine nachfolgende Schiebung (Vektor  $b$ ). Nimmt man die  $x$ -Achse in Schiebrichtung an, so ist  $b$  reell, und  $\sigma$  wird beschrieben durch

$$(17) \quad z'' = e^{i\alpha} z' + b \quad \text{mit} \quad b = \bar{b} \geq 0.$$

Diese Verlagerung  $\sigma$  von  $q'' = q$  könnte auch durch eine Drehung allein (durch denselben Winkel  $\alpha$ ) um den durch  $z' = z''$

§ 11. In dem wichtigen "zyklischen Fall"  $b = 0$  geht es um Lösungskurven  $q$ , die mit ihren Inversen  $q'$  durch eine Drehung um das Inversionszentrum  $O = H$  verknüpft sind. Auf Grund von  $R^2 = -4a^4 \sin^2 \alpha \leq 0$  besitzt die zugehörige Möbius-Abbildung  $\mu$

$$(25) \quad \bar{z}z' = a^2 e^{i\alpha}$$

keine reellen Fixpunkte, sofern nicht  $\alpha = 0 \pmod{2\pi}$ . Diese hinfort ausgeschlossene Annahme, bei welcher jeder Punkt des Inversionskreises  $j$  festbleibt, würde zu den anallagmatischen Kurven  $q = q'$  führen, die sich als Inverse von axial-symmetrischen Hilfskurven  $q^*$  gewinnen ließen.

Ansonsten lassen sich die in der Gestalt  $z = z(\phi)$  dargestellten, gegenüber  $\mu$  invarianten Lösungskurven  $q = q''$  durch den Ansatz

$$(26) \quad z(\phi) = a e^{i\phi} w(\phi)$$

erfassen, was entweder

$$(27) \quad \bar{w}(\phi) \cdot w(\phi + \alpha) = 1$$

oder

$$(28) \quad \bar{w}(\phi) \cdot w(\phi + \beta) = -1 \quad \text{mit } \beta = \alpha + \pi$$

verlangt. Die multiplikative Funktionalgleichung (27) kann durch die Substitution

$$(29) \quad w(\phi) = \frac{1 + \bar{w}(\phi)}{1 - \bar{w}(\phi)}$$

auf die additive Form

$$(30) \quad \bar{w}(\phi) + w(\phi + \alpha) = 0$$

gebracht werden. Nach der Aufspaltung  $w = u + iv$  ergeben sich für den Real- bzw. Imaginärteil die Bedingungen

$$(31) \quad u(\phi + \alpha) = -u(\phi), \quad v(\phi + \alpha) = v(\phi),$$

die am einfachsten wieder durch trigonometrische Polynome (oder konvergente Reihen) der Gestalt (14) zu erfüllen sind, wobei diesmal  $m = \pi/\alpha$  und  $a_j, b_j \in \mathbb{R}$ ; die Indizes  $j$  sind für  $u$  ungerade, für  $v$  gerade zu nehmen. Durch Parametrisierungen nach dem Muster (15) und sonstige periodenerhaltende Operationen ist die Lösungsmannigfaltigkeit beliebig zu erweitern. Die schwierigere Alternative (28) ist durch den Ansatz

$$(32) \quad w(\phi) = \frac{P(\phi)}{Q(\phi)} \quad \text{mit } P(\phi + \beta) = -\bar{Q}(\phi), \quad Q(\phi + \beta) = \bar{P}(\phi)$$

zu bewältigen, der wieder durch geeignete trigonometrische Polynome  $P(\phi)$  und  $Q(\phi)$  mit komplexen Koeffizienten zu befriedigen ist.

Mit rationalem Modul  $m = \pi/\alpha$  kann man wieder zu algebraischen Lösungen gelangen. So liefert etwa die Wahl  $w = a_1 \cos 2\phi$

in (29) eine doppel-symmetrische Sextik  $q$ , die nach Viertel-schwenkung um ihr Zentrum mit ihrer Inversen  $q'$  zur Deckung kommt. Die gleiche Eigenschaft weist die zur Annahme  $w = \cot \phi$  in (28) gehörige Kappa-Kurve auf (Fig. 4). Nebenbei bemerkt, erhält man für  $m = 1$  ( $\omega = \pi$ ) die anti-anallagmatischen Kurven.

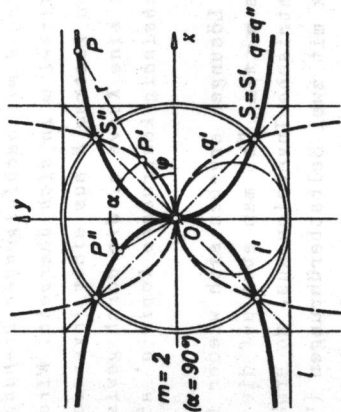


Fig. 4. Kappa-Kurve (4. Ordnung).

Eine andere Möglichkeit zur Gewinnung von Lösungskurven des zyklischen Typs bietet die stereographische Projektion geeigneter periodischer Kurven auf der Kugel.<sup>3</sup> So gelangt man etwa durch stereographische Projektion der sphärischen "Ten-nisball-Kurve" (4. Ordnung) zu der in der Ausschreibung erwähnten Cassinischen Kurve

$$(33) \quad (x^2 + y^2)^2 - 2b^2(x^2 - y^2) = a^4.$$

§ 12. Im "elliptischen Fall"  $R^2 < 0$ ,  $b > 0$  sind auch keine reellen Fixpunkte vorhanden. Die durch die Gaußschen Koordinaten  $z_1, z_2$  aus (21) definierten reellen Punkte  $M$  und  $N$  bilden jedoch ein vertauschbares Punktepaar:  $M'' = N, N'' = M$ . Die Ausübung der Hilfsinversion  $\kappa$  (7) von  $N$  aus wirft diesen Punkt ins Unendliche und verwandelt daher die Möbius-Abbildung  $\mu^* = \kappa\mu$  in eine solche vom zyklischen Typ (§ 11). Diese Abbildung

$$(34) \quad \bar{z}z'' = \frac{b^2 c^4}{-R^2} \cdot \frac{z_1}{z_2} = A^2 e^{i\omega}$$

<sup>3</sup> Diese Methode wird auch in [2] und [3] ausgiebig benutzt.

und setzt sich demgemäß zusammen aus der Inversion an einem Kreis vom Radius  $A$  und einer Drehung um das Inversionszentrum  $M^* = KM$  durch den Winkel  $\omega = \arg(z_1/z_2) = \angle NOM$ ; dieser läßt sich berechnen aus  $\cos \omega - \cos \alpha = b^2/2a^2$ .

Anstelle des Hauptsatzes aus § 2 tritt nun der

Satz: Sei  $q^*$  irgendeine Kurve des zyklischen Typs aus § 11, d.h. eine drehsymmetrische Kurve, die durch Inversion an einem konzentrischen Kreis mit nachfolgender Drehung um ihr Zentrum  $M^*$  durch einen Winkel  $\omega$  in sich übergeht. Wird diese Kurve  $q^*$  von einem anderen Zentrum  $N$  aus einer Inversion  $\kappa$  unterworfen, so entsteht eine Kurve  $q$ , die durch gewisse Inversionen  $\iota$  auf eine gleichsinnig-kongruente Kopie  $q'$  abgebildet werden kann.

Algebraische Lösungen ergeben sich wieder für rationale Werte des Moduls  $m = \pi/\omega$ . Übt man etwa auf die Kappa-Kurve aus Fig. 4 eine exzentrische Inversion aus, so erhält man eine tri-zirkulare Sextik mit zwei Selbstberührungen ("Brezel-Kurve"), die durch zwei Inversionen auf eine gleichsinnig-kongruente Kopie und durch eine andere Inversion auf ein Spiegelbild abbildbar ist (§7); überdies ist sie im allgemeinen doppelt anallagmatisch (§ 11).

#### Literatur

- [1] J.L.KAVANAU: Curves and Symmetry, I. Science Software Systems, Inc. (Los Angeles, 1982).
- [2] J.F.RIGBY: The Inversive Symmetry of Curves. University College, Cardiff (1983), 57 pp. with 70 figg.
- [3] J.B.WILKER: Möbius Equivalence and Euclidean Symmetry. University of Toronto (1983), 48 pp. with 39 figg.
- [4] W.WUNDERLICH: Congruent-inverse Curve Pairs. Technical University of Vienna (1982), 71 pp. with 34 figg.

Anschrift des Autors:

Emer. Prof. W. Wunderlich  
Institut für Geometrie  
Technische Universität Wien  
Gußhausstraße 27  
A-1040 Wien